УДК: 539.141:537.868.531

## ЭКСПЕРИМЕНТАЛЬНОЕ И ТЕОРЕТИЧЕСКОЕ ИССЛЕДОВАНИЕ КОНВЕРСИИ ЭТАНОЛА В ТЛЕЮЩЕМ РАЗРЯДЕ АТМОСФЕРНОГО ДАВЛЕНИЯ

# В.И.Архипенко, А.А.Кириллов, Е.А.Сафронов, Л.В.Симончик, А.Н.Мигун\*, А.П.Чернухо\*

Институт физики им. Б.И. Степанова НАН Беларуси, 220072, Беларусь, г. Минск, просп. Независимости 68, E-mail: a.kirillov@dragon.bas-net.by \*Научно-производственное предприятие "Перспективные исследования и технологии", 223058, , Беларусь, пос. Лесковка, ул. Совхозная 1, E-mail: migoun@artech.by

#### Аннотация

Представлен комплекс экспериментальных и теоретических исследований этанола в конверсии синтез-газа при содействии разряда постоянного тока при атмосферном давлении с плазменным катодом. Численное моделирование кинетики конверсии выполнено с использованием Коннов модели, в соответствии с предположенным тепловым характере процесса.

**Ключевые слова:** Этанол, тлеющий разряд, давление, атмосфера, конверсия

#### Введение

Дефицит природных ресурсов, особенно нефти, привлекает внимание исследователей к поиску альтернативных видов топлива и их наиболее эффективному использованию. Теоретические и экспериментальные исследования показали, что добавление водорода и синтез-газа к основному топливу позволяет достичь более высокой эффективности и снизить выброс загрязняющих веществ [1].

Однако, при этом возникают проблемы хранения и транспортировки водорода. Наиболее перспективным решением является генерация водорода непосредственно перед сжиганием в процессе плазменной конверсии моторного топлива [2]. Основные преимущества технологий, основанных на использовании плазмы, включают приемлемые режимы работы (атмосферное давление, невысокие газовые температуры, быстрый запуск, компактный размер и т.д.). Различные типы разрядов атмосферного давления (коронный, искровой, барьерный, скользящий дуговой постоянного, переменного и пульсирующего тока различных частотных диапазонов) предлагаются в качестве источников плазмы для этих целей [3,4].

В данной работе проводится экспериментальное и теоретическое исследование конверсии смеси этанол-воздух в тлеющем разряде атмосферного давления на постоянном токе с плазменным катодом [5].

Численное моделирование кинетики конверсии выполняется в одномерном приближении в рамках модели [6], согласно предположению о термической природе процесса.

#### Эксперимент

Конверсия этанола осуществлялась в плазмохимическом реакторе, представляющем трехсекционную камеру с конфигурацией электродов катод-анод-анод (рис. 1). В секции А на расстоянии 1-1.5 мм расположены охлаждаемый медный катод 2 (стержень диаметром 6 мм) и медный анод 3 (пластинка толщиной около 1 мм), между которыми с помощью источника U1 (1500 B, балластное сопротивление R1~1200 Ω) зажигался самостоятельный нормальный тлеющий разряд при токе 150-200 мА. Через секцию А обеспечивался проток воздуха с расходом 0,3 - 0.7 л/мин, при этом выход его происходил через отверстие (диаметр 2 мм) в секцию С (кварцевая трубка 5 диаметром 10 мм и длиной 15 мм), которая располагалась под отверстием в электроде 2. Разряд с секции А служил в качестве плазменного катода для несамостоятельного разряда в секции С, который зажигался между электродом 3 и вторым анодом 4 с помощью источниκα U2 (3000 B, R2~1000 Ω).

Электроды в секции C расположены на расстоянии 1,5 см. Разрядный ток менялся от 50 мA до 200 мА. В секцию В подавалась смесь воздуха со спиртом с расходом воздуха 0.5-1.3 л/мин и спирта 1.0-2.0 мл/мин.

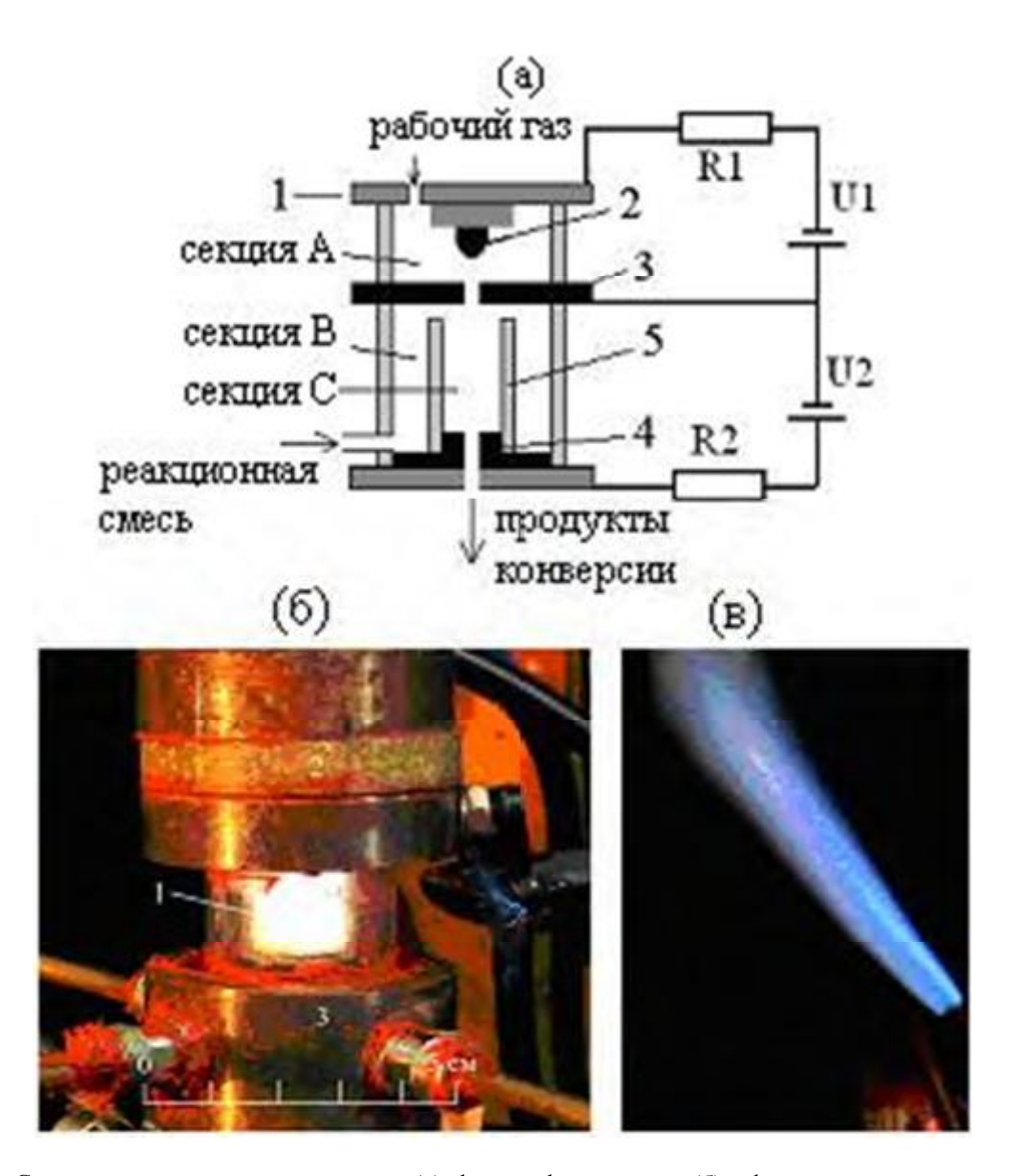


Рис. 1 – Схема плазмохимического реактора (а), фотография реактора (б) и факела горения синтез-газа (в)

Спирт из дозаторов по двум каналам поступал в секцию В через жиклеры, что обеспечивало нагрев и испарение спирта с полным переходом в газовую фазу без наличия аэрозольной составляющей. Далее пары спирта с воздухом поступали в секцию С, где в плазме несамостоятельного ТРАД осуществлялись плазмохимические процессы. Выход газов из секции С происходил через отверстие диаметром 2 мм в аноде 4.

В экспериментах для конверсии использовался воздух и смесь спирта (85%) с водой (15%). Для определения состава продуктов конверсии этой смеси, прошедшей обработку в плазме реактора, применялась диагностика, основанная на абсорбционной ИК-спектроскопии [7]. Спектры поглощения продуктов

конверсии регистрировались с помощью Фурье-спектрометра NEXUS (Thermo Nicolet) в диапазоне 600 - 4000 см<sup>-1</sup>. Для подготовки к спектроскопическому анализу выхлопные газы из плазмохимического реактора прокачивались через 5.7 см газовую кювету с окнами из германия, которая была предварительно нагрета до 90 °C с целью предотвращения конденсации паров воды и этанола.

После обработки в плазме в спектрах выходящей из реактора смеси наблюдаются интенсивные колебательно-вращательные полосы, принадлежащие молекулам СО (2150 см $^{-1}$ ), СО<sub>2</sub>(740 и 2350 см $^{-1}$ ), водяного пара (1600 и 3750 см $^{-1}$ ), СН<sub>4</sub> (3100 см $^{-1}$ ) и С<sub>2</sub>H<sub>2</sub> (750 и 3300 см $^{-1}$ ), а также слабые полосы этанола (1050 и 2950 см $^{-1}$ ) (рис.2).

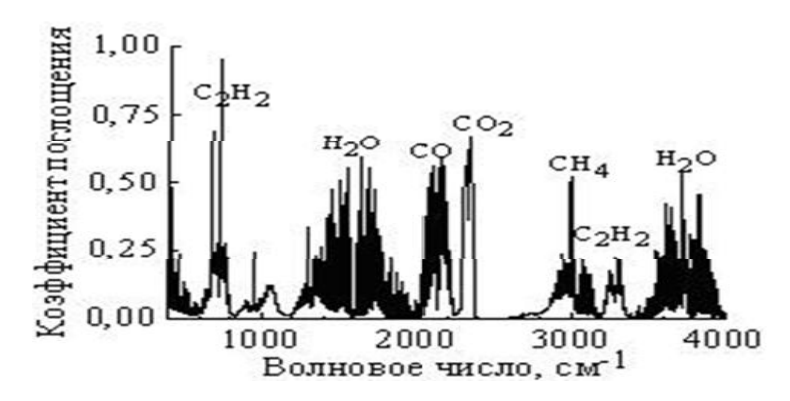


Рис. 2 – ИК спектр поглощения газовой смеси на выходе из плазменного реактора

Мольные доли оптически активных компонент продуктов конверсии этанола CO,  $CO_2$ ,  $CH_4$ ,  $C_2H_2$  и  $H_2O$  определялись путем сопоставления экспериментальных спектров поглощения и рассчитанных с использованием базы спектральных данных Hitran [8].

Мольная доля этанола определялась с помощью экспериментальной калибровочной кривой поглощения, построенной с использованием газовых смесей с известной концентрацией спирта.

Мольные доли водорода, азота и кислорода рассчитывались, учитывая содержание этанола, воды, кислорода и азота на входе в реактор и мольных долей ИК активных компонент в продуктах конверсии, определенных экспериментально.

Дополнительно для контроля концентрации водорода применялось специально разработанное устройство, основанное на диффузии водорода через палладиевую мембрану [7].

#### Численное моделирование

При типичных условиях работы плазмохимического реактора вкладываемая в реакционную смесь энергия электрического разряда составляет  $\sim 10~\mathrm{Дж/cm}^3$ , что приводит к поступательной температуре выше 2000 К.

Вследствие этого, при численном моделировании кинетики конверсии использовалось предположение о термической природе процесса.

Моделирование в одномерном приближении осуществлялось с учетом выделения энергии в газовом разряде, при этом полагалось, что 65-70% энергии разряда идет на нагрев реакционной смеси, а остальное

теряется вследствие излучения и теплообмена с окружающей средой.

В расчетах был использован детальный кинетический механизм [6], состоящий из 1207 элементарных обратимых реакций между 127 химическими компонентами.

На рис. 3 представлены результаты расчета аксиального распределения мольных долей и температуры в случае скорости подачи в реактор водно-спиртовой смеси 1.25 мл/мин, скорости подачи воздуха 0.8 л/мин. Разряды в камерах А и С имели следующие параметры.

Самостоятельный разряд: ток 150 мА, напряжение 380 В, мощность 57 Вт; несамостоятельный разряд: ток 50 мА, напряжение 1400 В, мощность 95 Вт; суммарная мощность 252 Вт.

В первой трети разрядного промежутка нагрев газовой смеси осуществляется за счет энергии газового разряда.

После этого, вблизи z=0.5 см при температуре  $T\sim 1100~\rm K$  происходит зажигание этанола с быстрым образованием водяного пара и продуктов частичной конверсии этанола (CH<sub>4</sub>, C<sub>2</sub>H<sub>2</sub>, C<sub>2</sub>H<sub>4</sub> и т.д.) в экзотермической стадии процесса.

За ней следует медленная экзотермическая стадия, в которой продукты частичного преобразования реагирует с водяным паром, например:

$$CH_4 + H_2O \rightarrow CO + 3H_2$$
.

В таблице 1 приведены экспериментальные и теоретические данные о продуктах конверсии, рассчитанные для двух значений тепловых потерь в окружающую среду (30 и 35%).

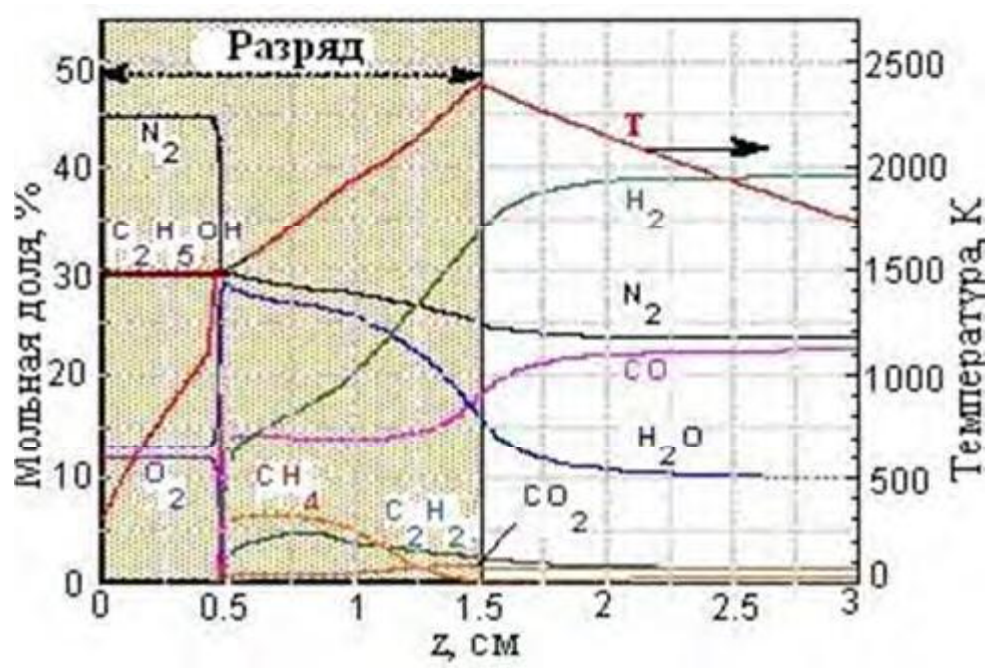


Рис. 3 – Аксиальные профили концентраций и температуры в реакторе

Видно, что они находится в хорошем соответствии, как по составу газовой смеси, так и по степени конверсии в водород, что является свидетельством адекватности теоретической модели и подтверждает предположение о тепловой природе конверсии этанола

в данных условиях. Вследствие этого, при фиксированных параметрах реакционной смеси основной представляется зависимость характеристик конверсии от мощности газового разряда.

Таблица 1 – Мольные доли продуктов конверсии

	Мольная доля,%			
Компоненты		Продукты конверсии		
	Смесь на входе	Эксперимент	Расчет, потери 35%	Расчет, потери 30%
C <sub>2</sub> H <sub>5</sub> OH	29.5	0.33	0	0
H <sub>2</sub> O	16.8	8.85	10.1	6.42
$N_2$	43.0	23.23	23.8	22.7
$O_2$	10.7	0.11	0	0
CO		25.44	22.5	25.5
$CO_2$		1.11	1.34	0.89
CH <sub>4</sub>		1.33	0.67	0.38
$C_2H_2$		0.88	1.5	0.86
$H_2$		38.72	39.3	42.9

#### Параметры конверсии

При оценке эффективности преобразования реакционной смеси в синтез-газ наибольший интерес представляют состав выходящего из реактора газа, а также такие параметры, как коэффициент конверсии, скорость наработки продуктов конверсии (производительность) и цена производства водорода.

На рис. 4 представлена зависимость мольных долей основных продуктов конверсии этанола от суммарной мощности газового разряда.

Видно, что с увеличением мощности наблюдается рост мольных долей  $H_2$  и CO и, напротив, убывание мольных долей  $C_2H_5OH$ ,  $H_2O$  и  $N_2$ .

Зависимость коэффициентов конверсии от мощности газового разряда приведена на рисунке 5а.

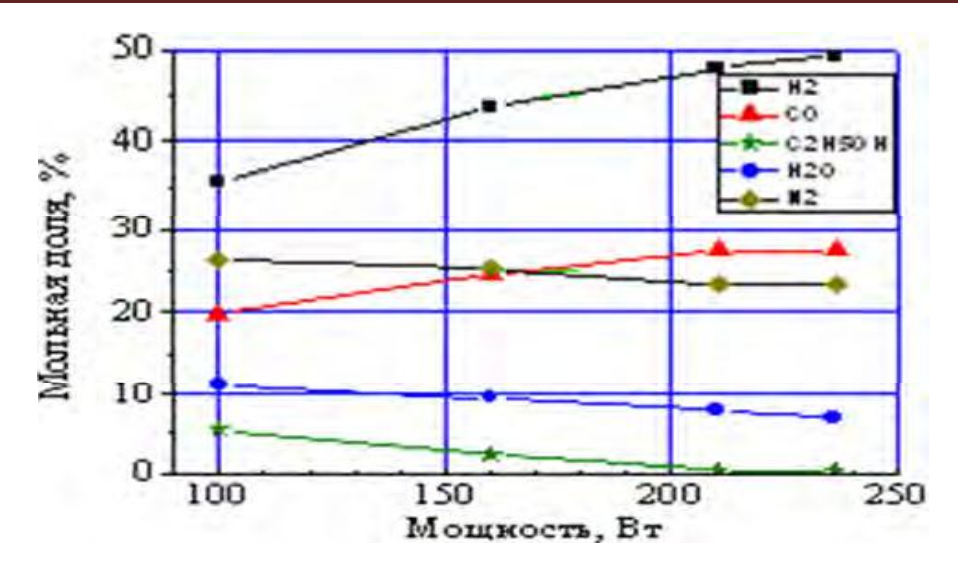


Рис. 4 – Зависимость состава выходящего из реактора газа от мощности газового разряда

С ростом мощности происходит монотонное увеличение коэффициентов конверсии, которое замедляется при достижении 210 Вт. Поскольку при достижении этой мощности наблюдается почти полное разложение этанола (см. рис. 4), это, по-видимому, свидетельствует об основном вкладе этанола в образовании водорода в нашем разряде.

Максимальные величины коэффициентов конверсии составляют, соответственно,  $Y(C_2H_5OH \to H_2)=97.3\%$  и  $Y(C_2H_5OH, H_2O \to H_2)=81.75\%$ .

Зависимости от мощности разряда производительности водорода G(H2) и синтезгаза G(SG) (рис. 5б) такие же, как для конверсии. При мощности 210 Вт  $G(H_2)$  и G(SG) достигают, соответственно, 1.33 л/мин и 2.13 л/мин при температуре газа 293 К.

Также с увеличением мощности происходит увеличение цены водорода (рис. 5в). При мощности разряда 210 Вт, с достижением которой практически прекращается рост коэффициента конверсии и объема получаемого водорода и синтез-газа, цена водорода составляет 2.4 эВ.

Продолжающееся увеличение цены водорода при дальнейшем повышении мощности делает бессмысленным работу реактора с мощностью разряда, превышающей 210 Вт, при расходе водно-спиртового раствора 1.25 мл/мин и воздуха 0.8 л/мин.

На рис. 6 представлены зависимости коэффициентов конверсии от энергии, получаемой входящей в реактор газовой смесью объемом 1 см3 за время пребывания в реакторе.

При проведении расчетов полагалось, что тепловые потери в окружающую среду составляют ~ 35%. Обе кривые обладают общей тенденцией повышения коэффициента конверсии с ростом энерговклада.

Однако, на экспериментальной кривой наблюдается важный с практической точки зрения участок насыщения, отсутствие которого на расчетной кривой возможно объясняется недостаточной величиной энерговклада.

### Литература

- 1. Conte E., Boulouchos K. // SAE Tech. 2004. Pap. 2004-01-0972.
- 2. Fridman A. Plasma Chemistry. Cambridge:Cambridge University Press, 2008.
- 3. Petitpasa G., Rolliera J.-D., Darmonb A.,Gonzalez-Aguilara J., Metkemeijera R., Fulcheria L Int. J. Hydrogen Energ. 2007. V. 32. P. 2848.
- 4. Zhdanok S. A., Krauklis A. V., Samtsov P. P, Suvorov A. V. J. Eng. Phys. Thermophys. 2006. V. 79. P. 1051.
- 5. Arkhipenko V.I., Kirillov A.A., Callegari T.,Safronau Ya.A., Simonchik L.V. // IEEE T. Plasma Sci. 2009. V. 37. P. 740.
- 6. Konnov, A. A. // Proceedings of the 28<sup>th</sup> International Symposium on Combustion, Edinburgh. Abs. Symp. Pap. 2000. P. 317.
- 7. Arkhipenko V.I., Zgirouski S.M., Karoza A.G., Kirillov A.A., Simonchik L.V. J. Appl. Spectrosc. 2013. V..80. P. 99.
  - 8. http://www.cfa.harvard.edu/HITRAN/

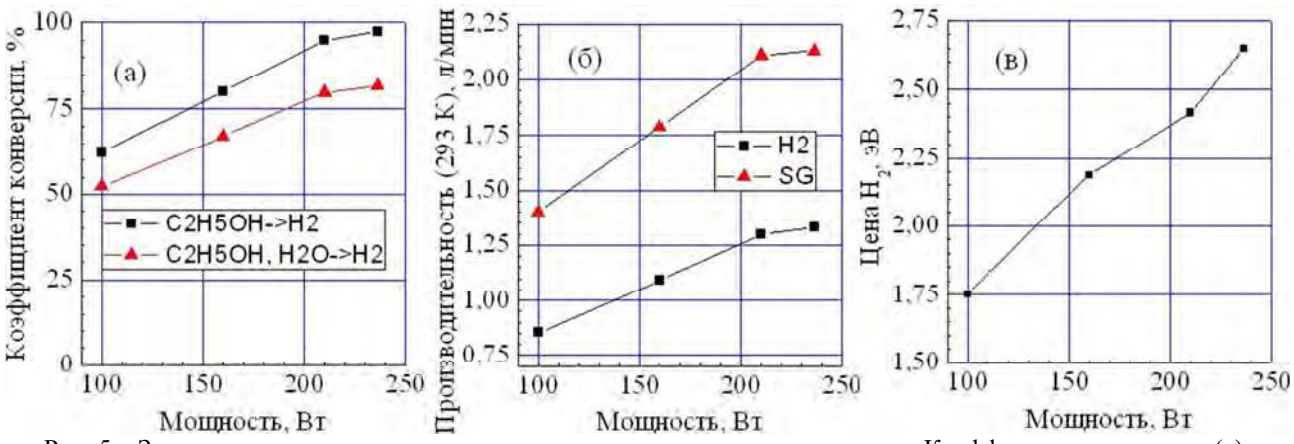


Рис. 5 – Зависимость от мощности разряда основных параметров конверсии. Коэффициент конверсии (a), производительность водорода и синтез-газа (б), цена водорода (в)

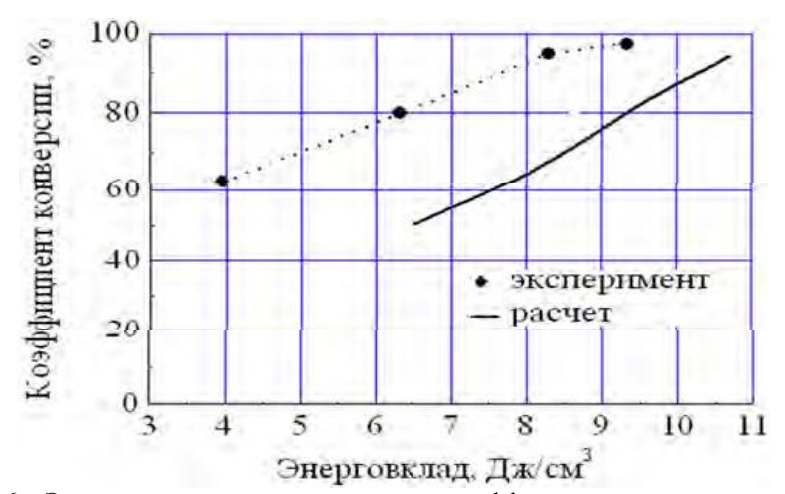


Рис. 6 – Экспериментальные и расчетные и коэффициенты конверсии этанола

# EXPERIMENTAL AND THEORETICAL STUDY OF ETHANOL CONVERSION IN ATMOSPHERIC PRESSURE GLOW DISCHARGE

Arkhipenko V.I., Kirillov A.A., Safronau Y.A., Simonchik L.V., Migoun A.N., Chernukho A.P.

## **Abstract**

Complex experimental and theoretical investigation of ethanol into syngas conversion assisted by a DC atmospheric pressure discharge with plasma cathode is presented. Numerical modeling of conversion kinetics is performed using Konnov model in accordance with assumption of thermal nature of the process.

# СОЛҒЫН РАЗРЯДТА АТМОСФЕРА ҚЫСЫМЫНДА ЭТАНОЛДЫҢ КОНФЕРЦИЯСЫНЫҢ ТЕОРИЯЛЫҚ ЖӘНЕ ЭКСПЕРИМЕНТТІ ЗЕРТТЕУ ¹В.И Архипенко, ¹А.А. Кириллов, ¹Е.А. Сафронов, ¹Л.В. Симончик, ²А.Н.Мигун, ²А.П. Чернухо

<sup>1</sup>Б.И. Степанов атындағы физика институты ҰҒА Беларусь, Минск қ., 220072, Тәуелсіздік даң., 68, е-mail: 
<sup>2</sup>Ғылыми-өндірістік мекеме «Перспективалық зерттеулер және технология», 223058, Беларусь, Лесковка ауылы, Совхозная көш., 1,

#### Аннотация

Аталған жұмыста плазмалық катодта тұрақты тоқ арқылы разрядт қатысында этанолдың конверция кезіндегі синтез-газдың эксперименттік және теориялық зерттеулер көрсетілген. Жылу сиппаттамасының процестерімен сәйкестіре отырып Коннов моделі бойынша конверцияның кинетикалық шамасы бойынша сандық моделдер жасалынды.